

УДК 621.18-5

## **РАЗРАБОТКА АСР ТЕМПЕРАТУРЫ ПРЯМОЙ СЕТЕВОЙ ВОДЫ ДЛЯ МИНИ-ТЭЦ С ГПА**

Мышленник М.А.

Научный руководитель – старший преподаватель Буров А.Л.

Современные котельные, реконструируемые в мини-ТЭЦ, должны удовлетворять следующим требованиям:

- обеспечение номинальной теплопроизводительности котлов;
  - обеспечение высокой надежности и экономичности работы оборудования;
  - обеспечение приемлемых экологических показателей;
  - снижение влияния человеческого фактора;
  - иметь малую стоимость капитальных и эксплуатационных расходов;
  - работать в когенерационном режиме, т.е. вырабатывать два вида энергии – генерическую и тепловую, причем выработанная тепловая энергия должна полностью изъяться из сброса излишков в окружающую среду.

Появление энергетических двигателей внутреннего сгорания (ДВС), таких как газопоршневые агрегаты (ГПА) малой и средней мощности с высокими экономическими показателями (стоимость, КПД, эксплуатационные затраты) позволяет значительно расширить комбинированную выработку электроэнергии за счет вовлечения мелких потребителей, которые оказались вне возможностей традиционных паротурбинных ТЭЦ.

## Основные преимущества мини-ТЭЦ на базе ГПА:

- обеспечивается более экономичное использование топлива;
  - потребитель становится относительно независимым от энергосистемы, на него не распространяются ограничения по потреблению электроэнергии;
    - электрическая и тепловая энергия, вырабатываемая собственно КГУ обходится потребителю значительно дешевле, чем энергия, получаемая от энергосистемы.

В данном докладе рассмотрим одно из преимуществ ГПА: использование тепла, полученного за счет охлаждения ДВС, а так же составим схему автоматизации для данного процесса.

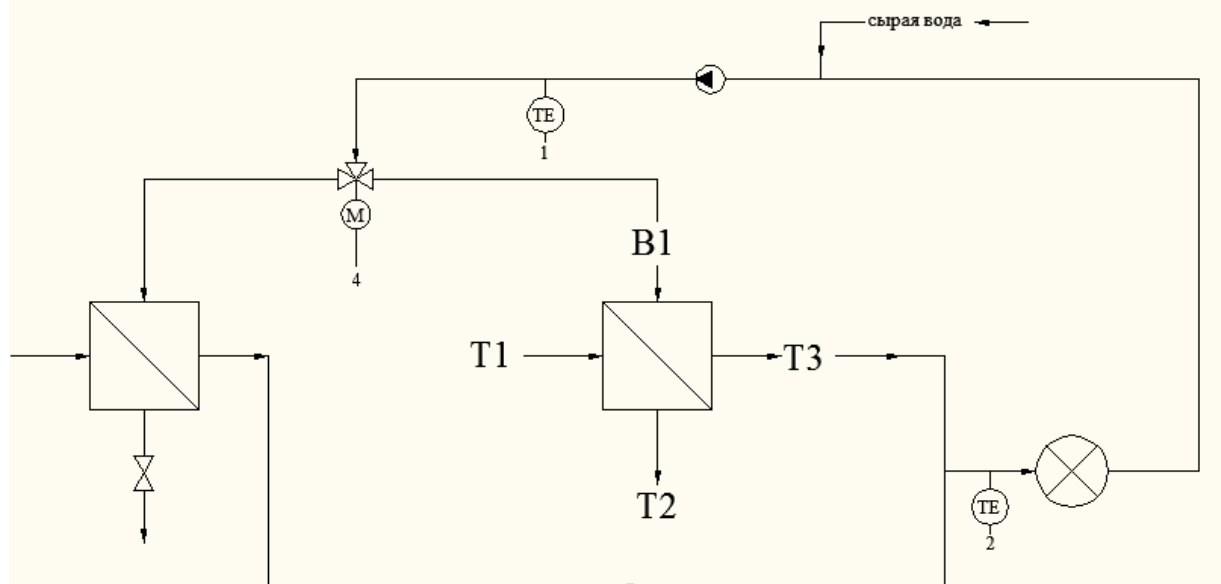


Рисунок 1 – Функциональная схема

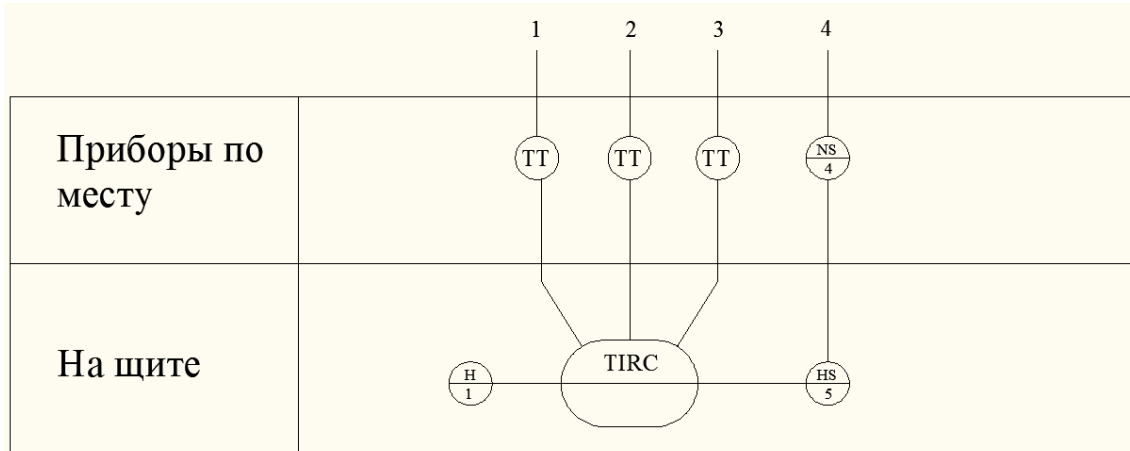


Рисунок 2 – Схема автоматизации

Схема работает по двум веткам. В первой нагрев воды для потребителя производится теплообменником, в котором греющей средой является сетевая вода от ГПА. Подпитка осуществляется сырой водой обычной врезкой в обратный трубопровод. В летнем режиме и при нормальной работе ГПА второй контур не задействуется, регулирующий клапан на левом теплообменнике закрыт.

При определенных условиях второй контур может работать независимо от первого контура, а также совместно:

- в случае останова ГПА или же срабатывания на ней технологических защит, на трехходовой клапан поступает сигнал, и вода идет на пароводянной теплообменник (левый), в котором греющий теплоноситель пар, вырабатываемый котельной – циркуляция воды осуществляется только по второму контуру.
- в зимнем режиме для достижения необходимой температуры теплоносителя, отдаваемого потребителю, работает и первый и второй контура. Регулирующий клапан на левом теплообменнике полностью открыт, а трехходовой клапан служит для разделения потока воды из обратного трубопровода. Режимы (зимний/летний) определяются с помощью датчика ТЕЗ (на схеме не указан), с которого сигнал о температуре наружного воздуха поступает на указанный выше регулятор.

### Моделирование АСР температуры воды теплообменного аппарата

Таблица 1 – Исходные данные

Параметр	Значение
Коэффициент усиления объекта для опережающего участка	$K_{on} = 4,5 \text{ }^{\circ}\text{C}/m_{\text{ч}}$
Большая постоянная времени опережающего участка	$T_{on} = 20 \text{ с}$
Меньшая постоянная времени опережающего участка	$\sigma_{on} = 2 \text{ с}$
Коэффициент усиления объекта для инерционного участка	$K_{uh} = 1,5 \text{ }^{\circ}\text{C}/m_{\text{ч}}$
Большая постоянная времени инерционного участка	$T_{uh} = 103 \text{ с}$
Меньшая постоянная времени инерционного участка	$\sigma_{uh} = 18 \text{ с}$
Время по Кулакову	$T_k = 121 \text{ с}$
Время запаздывания	$\tau_y = 40 \text{ с}$

АСР температуры воды в теплообменном аппарате будет представлять собой каскадную САР:

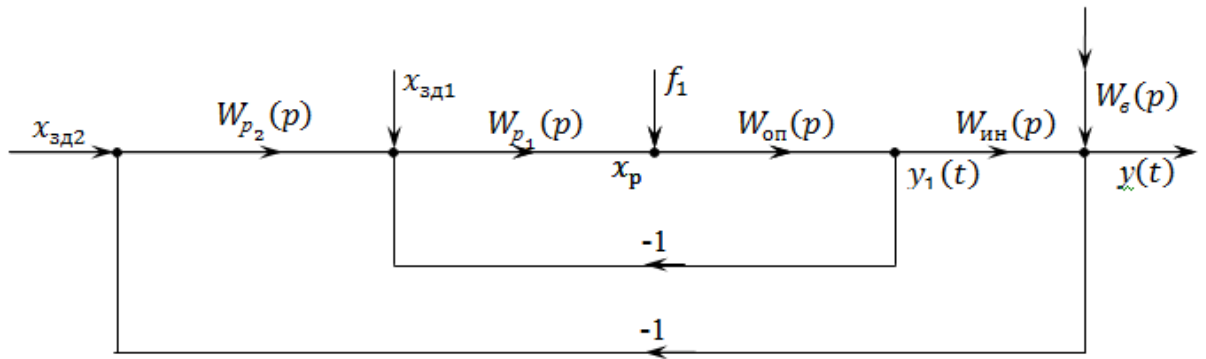


Рисунок 3 – Схема моделирования АСР температуры воды

где

$x_{\text{зд}1}$ ,  $x_{\text{зд}2}$  – заданные значения промежуточной и основной регулируемых величин соответственно;

$y(t)$ ,  $y_1(t)$  – основная и промежуточная регулируемые величины соответственно;

$f_1$ ,  $f_2$  – внутреннее и внешнее возмущения соответственно;

$\varepsilon_1(t)$ ,  $\varepsilon(t)$  – ошибки регулирования соответственно внутреннего и внешнего контуров.

Динамика опережающего участка представлена в виде инерционного звена второго порядка:

$$W_{\text{оп}}(p) = \frac{K_{\text{оп}}}{(T_{\text{оп}}p + 1)(\sigma_{\text{оп}}p + 1)} = \frac{4,5}{(20p + 1)(2p + 1)} \quad (1)$$

Динамика инерционного участка представлена в виде инерционного звена первого и второго порядков с запаздыванием:

$$W_{\text{ин}}(p) = \frac{K_{\text{ин}} \cdot e^{-\tau_y p}}{(T_k p + 1)} = \frac{1.5 \cdot e^{-40p}}{(121p + 1)} \quad (2)$$

$$\text{где } T_k = T_{\text{ин}} + \sigma_{\text{ин}} = 103 + 18 = 121 \quad (3)$$

$W_B(p)$  – передаточная функция крайнего внешнего возмущения:

$$W_B(p) = \frac{K_e}{T_\sigma p + 1} = \frac{5}{30p + 1} \quad (4)$$

$W_{p_1}(p)$  – передаточная функция стабилизирующего регулятора:

$$W_{p_1}(p) = \frac{K_{p_1}(T_{u_1}p + 1)}{T_{u_1}p} \quad (5)$$

$W_{p_2}(p)$  – передаточная функция корректирующего регулятора:

$$W_{p_2}(p) = \frac{K_{p_2}(T_{u_2}p + 1)}{T_{u_2}p} \quad (6)$$

Передаточная функция стабилизирующего регулятора:

$$W_{p_1}(p) = \frac{1,766 \cdot (7,596p + 1)}{7,596p} \quad (7)$$

Передаточная функция корректирующего регулятора:

$$W_{p_2}(p) = \frac{1,008 \cdot (121p + 1)}{121p} \quad (8)$$

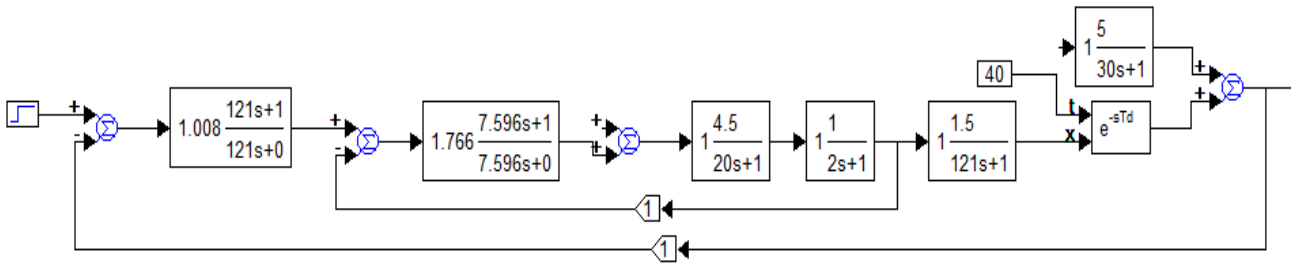


Рисунок 4 – Блок-схема схемы типовой КСАР (динамика инерционного участка представлена в виде инерционного звена первого порядка с запаздыванием)

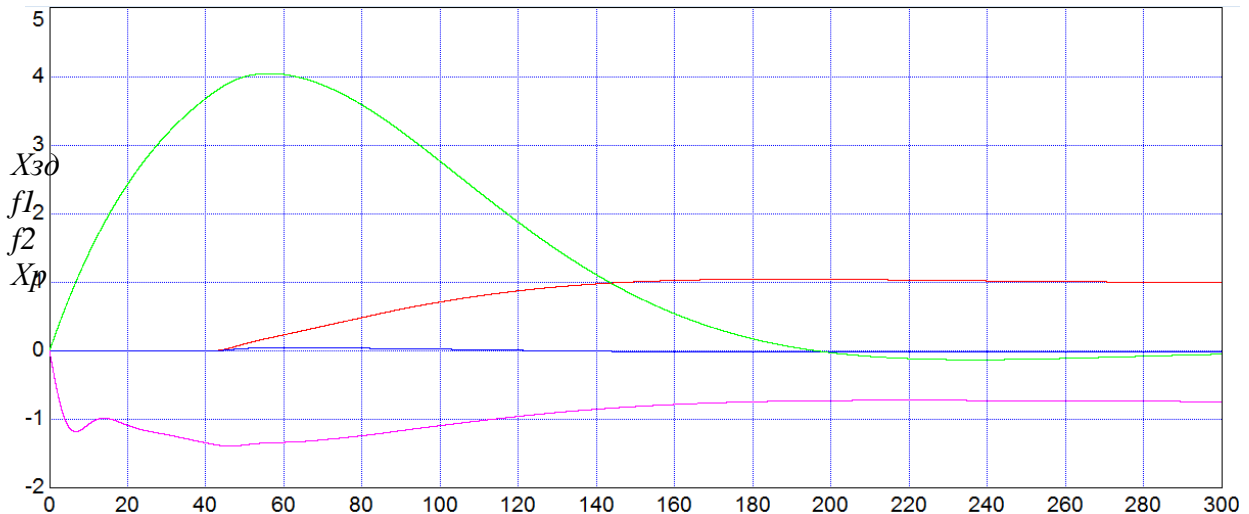


Рисунок 5 – Графики переходных процессов

Таблица 2 – Прямые показатели качества

	$t_{\pi}, \text{с}$	$A_{max1}^+$	$A_{max1}^-$	$\sigma_{max}, \%$	$\psi$
$x_{3d}$	240	0,038	–	4,6	1
$f_1$	121	0,04	0	–	1
$f_2$	300	4,04	0,13	–	1
$x_p$	–	–	1,39	–	–

### Выводы

В данном докладе были приведены основные преимущества мини-ТЭЦ на базе ГПА. Составлена функциональная схема, а так же схема автоматизации АСР температуры прямой сетевой воды. При помощи математической схемы моделирования рассчитаны параметры оптимальной динамической настройки регуляторов. Из графиков Рис. 5 видно, что система полностью отрабатывает внутренние и внешние возмущения, что от нее и требуется.

### Литература

4. Плетнев, П.Г. Автоматизированное технологических процессов и производств в теплоэнергетике. Учебное пособие для вузов. – М.: Издательский дом МЭИ, 2007.
5. Кулаков, Г.Т. «Инженерные экспресс-методы расчета промышленных систем регулирования». – Мн.: «Вышэйшая школа», 1984 г. – 192 с.
6. Кулаков, Г.Т. «Анализ и синтез систем автоматического регулирования». – Мн.: УП «Технопринт», 2003 г. – 134 с.